



## معادلات آلمتریک برای برآورد زی توده روی زمین درخت پالونیا فورتونئی (*Paulownia fortunei*) در طرح جنگلداری دکتر بهرام نیا

جهانگیر محمدی<sup>۱\*</sup>، علی‌اکبر محمدعلی پورملکشاه<sup>۲</sup>، نیشتمان حاتمی<sup>۲</sup>

۱. استادیار دانشکده علوم جنگل، دانشگاه علوم کشاورزی و منابع طبیعی گرگان، گرگان

۲. دانشجوی دکتری علوم جنگل و جنگلداری، دانشگاه علوم کشاورزی و منابع طبیعی گرگان، گرگان

تاریخ دریافت: ۱۳۹۷/۰۸/۱۱، تاریخ پذیرش: ۱۳۹۷/۰۴/۳۰

### چکیده

این تحقیق با هدف تعیین مناسب‌ترین مدل آلمتریک برای برآورد زی توده روی زمین پالونیا فورتونئی در طرح جنگلداری دکتر بهرام نیا اجرا شد. برای تحقیق ۱۶ پایه درخت پالونیا انتخاب شد. پس از قطع، هر درخت به قسمت‌های مختلف تنه، شاخه، برگ و میوه تقسیم و توزین شد. سپس به منظور تعیین چگالی خشک، از قسمت‌های مختلف تنه، شاخه، برگ و میوه نمونه‌هایی گرفته شد که در دمای ۱۱۰ درجه سانتی‌گراد به مدت ۴۸ ساعت (برای دیسک‌های تنه و شاخه اصلی) و دمای ۷۰ درجه سانتی‌گراد به مدت ۴۸ ساعت (برای بخش‌های دیگر) خشک شدند. در مرحله بعد وزن خشک هر بخش از درخت جداگانه محاسبه و زی توده کل درخت از جمع وزن خشک همه اندام‌های هوایی حاصل شد. به منظور تعیین مدل آلمتری زی توده کل درختان پالونیا از سه متغیر قطر برابر سینه، ارتفاع و چگالی خشک به صورت جداگانه و ترکیبی استفاده شد. نتایج این تحقیق نشان داد که از میان مدل‌های مختلف، مدل شماره ۲۱ با استفاده همزمان از دو متغیر قطر برابر سینه و ارتفاع به عنوان متغیر مستقل با ضریب تبیین ۰/۹۴۷ و درصد میانگین مجدول مربعات خطای ۲۶/۰/۷ درصد بهترین برازش را نشان داد. با اضافه کردن چگالی خشک به متغیرهای قطر برابر سینه و ارتفاع درختان، نتایج بهبود نیافت. همچنین نتایج نشان داد که از بین سه متغیر قطر برابر سینه، ارتفاع درختان و چگالی خشک، متغیر قطر برابر سینه بیشترین برازش را با زی توده کل درختان پالونیا داشت.

واژه‌های کلیدی: پالونیا، زی توده، طرح جنگلداری دکتر بهرام نیا، معادلات آلمتریک.

### مقدمه

سوخته می‌شوند، کربن ذخیره شده در آنها آزاد می‌شود و به اتمسفر بر می‌گردد. این چرخه طبیعی از کربن توسط تعادل پایدار بین فرایندهای بیولوژیکی و غیرآلی حفظ و کنترل می‌شود. حدود ۸۶ درصد از کربن روی زمین و ۷۳ درصد کربن زیر زمین در جنگل‌ها ذخیره شده است، بنابراین جنگل‌ها ذخیره‌گاه مهمی برای کربن جهانی هستند[۱]. ابعاد جدید مدیریت جنگل، راههای ارزیابی مکرر از جوامع برای کاهش یا سازگاری با تغییرات اقلیم و بررسی مجدد تعادل بین تولید چوب و خدمات اکوسيستم است و همه

کربن موجود در اتمسفر زمین با عنوان گاز دی‌اکسید کربن، درصد بسیار کمی از کربن (حدود ۰/۰۴ درصد) را تشکیل می‌دهد. با این حال تأثیر بسیار مهمی در زندگی روی کره زمین دارد. در طول فتوستتر، گیاهان دی‌اکسید کربن را از اتمسفر جذب و به کربوهیدرات تبدیل و اکسیژن را آزاد می‌کنند و هنگامی که این گیاهان یا درختان می‌میرند یا

\* نویسنده مسئول، تلفن: ۰۹۳۶۵۰۵۱۶۲۹  
Email: mohamadi.jahangir@gmail.com

بیشتر شده است. در این زمینه، گونه‌های تندرشد مانند پالوینا به لحاظ نشان دادن توان تولید حجم زیاد چوب در واحد سطح در کمترین زمان ممکن، کانون توجه محققان در بیشتر کشورهای جهان قرار گرفته است. همچنین لزوم حفظ و جلوگیری از نابودی جنگلهای بومی ایران از یکسو و کمبود چوب مورد نیاز کارخانه‌ها از سوی دیگر، تمایلات را برای کاشت بیشتر گونه‌های تندرشد و قابل استفاده در صنایع بیشتر می‌کند. از تحقیقات انجام گرفته در ایران در این زمینه می‌توان به تحقیقات واحدی و همکاران (۲۰۱۳)، Sohrabi and Shirvani (۲۰۱۲)، Iranmanesh (۲۰۱۴) و همکاران (۲۰۱۵)، Eslamdoost و همکاران (۲۰۱۴) و دریابی و سهربابی (۲۰۱۵) اشاره کرد [۳، ۵، ۸، ۹، ۱۰]. نتایج تحقیقات مذکور نشان داد که ضریب تبیین حاصل شده بین ۰/۹۹۳ تا ۰/۷۷۲ متغیر است. در خارج از کشور نیز تحقیقات زیادی برای تعیین معادلات آلومتریک برای برآورد زی توده گونه‌های مختلف از جمله Kenzo و همکاران (۲۰۰۹)، Litton، Zewdie و همکاران (۲۰۰۸)، Boone Kauffman و Aguilar (۲۰۰۹)، Djomo و همکاران (۲۰۱۰)، Navar و همکاران (۲۰۱۲)، Kuyah و همکاران (۲۰۱۲)، Rutishauser و همکاران (۲۰۱۳)، Fayolle و همکاران (۲۰۱۴)، Mugasha و همکاران (۲۰۱۴)، García-Morote و همکاران (۲۰۱۵)، واحدی (۲۰۱۶)، Stankova و همکاران (۲۰۱۶)، Stas و همکاران (۲۰۱۷) و Lupi و همکاران (۲۰۱۷) انجام گرفته است [۲، ۴، ۶، ۱۱، ۱۲، ۱۳، ۱۴، ۱۵، ۱۶، ۱۷، ۱۸، ۱۹، ۲۰، ۲۱]. نتایج همه تحقیقات نشان داد که میزان ضریب تبیین حاصل شده برای گونه‌های مختلف بین ۰/۶۷ تا ۰/۹۹ متغیر است. نتایج بررسی منابع در مورد تعیین معادلات آلومتریک برای برآورد زی توده نشان داد که نتایج با توجه به منطقه تحقیق و توده‌های جنگلی تحت بررسی متفاوت است. Zuazo و همکاران (۲۰۱۳)، پتانسیل درختان شاخه‌زاد پالوینا (*Paulownia elongate x fortune*) را برای تولید زی توده خشک در مناطق مدیترانه‌ای نیمه‌خشک جنوب

تصمیم‌گیری‌های مربوط به اقلیم نیازمند برآورد زی توده و ذخیره کربن از گذشته، حال و آینده جنگل، با عنوان سناریوهای مدیریتی مختلف است [۲]. همچنین تغییرات اقلیم در دهه‌های گذشته، نیاز به اطلاعات درباره زی توده جنگل‌ها در نواحی مختلف برای تعریف یک سیاست اقلیمی مناسب را افزایش داده است و این اطلاعات به برآوردهای اطمینان‌بخش از ذخیره کربن در اکوسیستم‌های جنگلی نیاز دارد. برآورد زی توده اهمیت زیادی در ارزیابی ساختار و عملکردهای اکوسیستم‌های جنگلی دارد [۳] و شاخص بسیار مهمی برای ارزش‌گذاری فرایندهای اقتصادی و بوم‌شناسی مانند چرخه عناصر غذایی، تولید جنگل و ذخیره سوختی است و یک شاخص پایداری اکولوژیکی محسوب می‌شود. به طور معمول معادلات آلومتریک زی توده در سطح درخت از نمونه‌برداری تجربی و روش‌های رگرسیون خطی و غیرخطی استفاده می‌کنند و ابزاری مهم برای کمی کردن زی توده و ذخیره کربن در اکوسیستم‌های زمینی هستند [۱] و این معادلات اغلب به هر یک از گونه‌های موجود یا گروهی از گونه‌های موجود مربوط می‌شود و بیشتر تحقیقات به این نتیجه رسیده‌اند که معادلات آلومتریک مربوط به هر تک‌گونه سبب بهبود برآورد زی توده در جنگل می‌شود، زیرا شکل ظاهری و چگالی گونه‌های مختلف با هم تفاوت دارد [۴، ۵]. در نتیجه انتخاب مدل آلومتریک مناسب در کاهش عدم اطمینان‌ها در برآورد زی توده جنگل بسیار مهم است [۶]. امروزه پالوینا به عنوان گونه‌ای تندرشد و تولیدکننده کوتاه‌مدت محصولات چوبی، در بسیاری از مناطق جهان بسیار مورد توجه قرار گرفته است. پالوینا گونه بومی کشور چین از ۲۶۰۰ سال پیش به خوبی شناخته شده و به عنوان گونه‌ای با نیاز کم به آب مطرح است [۷]. این گونه کاربردهای فراوانی در صنایع روکش‌سازی، تخته چندلایه و خمیرکاغذ دارد. با افزایش چشمگیر جمعیت، تقاضا برای مصرف فراوردهای لیگنوسلولزی و بهره‌گیری از چوب‌های تولیدی در دوره‌های بهره‌برداری کوتاه‌مدت (زراعت چوب) برای تأمین ماده اولیه مورد نیاز صنایع یادشده

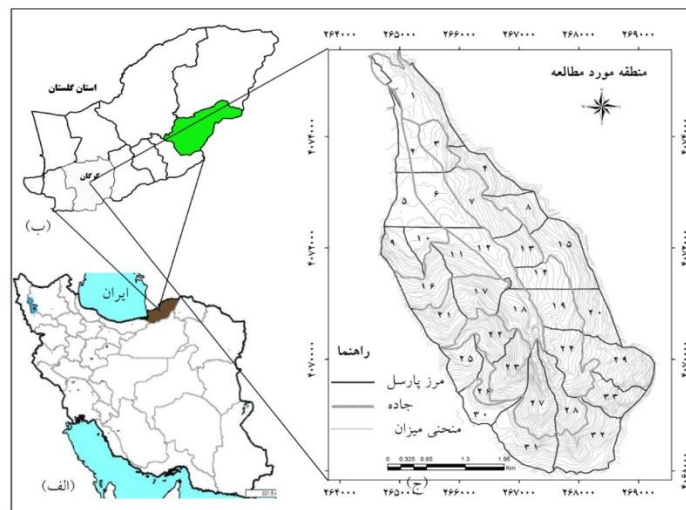
بهترین معادله برای یکی از گونه‌های مهم اقتصادی و تندرشد برای برآورد زی توده درخت پالونیا فورتونئی در طرح جنگلداری دکتر بهرام نیا است.

## مواد و روش‌ها

### مشخصات منطقه تحقیق

منطقه تحقیق واقع در سری یک طرح جنگلداری دکتر بهرام نیا (شصت کلاته) در حوزه آبخیز ۸۵ اداره کل منابع طبیعی استان گلستان و در جنوب شهر گرگان با طول جغرافیایی ۵۴ درجه و ۲۴ دقیقه تا ۵۴ درجه و ۲۵ دقیقه شرقی و عرض جغرافیایی ۳۶ درجه و ۳۸ دقیقه تا ۳۶ درجه و ۴۲ دقیقه شمالی است (شکل ۱). برمبنای سیستم مختصات UTM منطقه تحقیق در زون ۴۰ شمالی واقع است. منطقه تحقیق براساس اطلاعات ایستگاه کلیماتولوژی هاشم‌آباد در فاصله ۵ کیلومتری شمال منطقه طرح در جلگه، از نظر طبقه‌بندی اقلیمی آبرژه دارای اقلیم مرطوب معتدل است و مقدار بارندگی متوسط سالیانه ۶۴۹ میلی‌متر که بین ۵۲۸ تا ۸۱۷ میلی‌متر متغیر است. رویشگاه مورد نظر (جنگل کاری پالونیا) در پارسل ۵ سری یک طرح جنگلداری دکتر بهرام نیا واقع شده است (شکل ۱).

اسپانیا در یک دوره دوساله بررسی و تجزیه و تحلیل کردند. در این تحقیق، معادله آلمتریک برای برآش و محاسبه زی توده ارائه نشده و از نسبت وزن تر به وزن خشک برای محاسبه زی توده استفاده شده است. نتایج نشان داد که مقدار زی توده دو کلون (Cotevisa 2 and Suntzu 11) بین ۷/۲ تا ۱۴ تن در هکتار حاصل شد [۲۲]. معادلات آلمتریک در رویشگاه‌های مختلف و گونه‌های مختلف و حتی در موقعیت‌های مختلف و نامنظم بودن درختان از نظر سن، گونه، اندازه، تاج، کیفیت رویشگاه، تراکم توده و موقعیت نسبی درختان متفاوت‌اند. تا کنون تحقیقی درباره تعیین و برآش معادلات آلمتریک برای درختان پالونیا در ایران انجام نگرفته و در جهان هم فقط درباره نهال‌های پالونیا پژوهش شده و درباره درختان قطور و مسن نیز تحقیقی اجرا نشده است. همچنین با توجه به افزایش کشت این گونه تندرشد و چندمنظوره در ایران تحقیقات لازم در زمینه آگاهی از وضعیت درختان، بررسی مشخصه‌های کمی و کیفی، مانند تعیین معادلات آلمتریک و توان تولید زی توده این گونه ضروری به نظر می‌رسد. در حال حاضر اندازه‌گیری کمی زی توده به دلیل صرف زمان، هزینه و نیروی انسانی زیاد و اثرهای تخریبی آن به چالش بزرگی تبدیل شده است. بنابراین هدف از این تحقیق، تعیین معادلات آلمتریک و انتخاب



شکل ۱. موقعیت منطقه تحقیق در ایران و استان گلستان

دیگر استفاده شده است انتخاب شدند (جدول ۱). برای اعتبارسنجی مدل‌ها نیز از معیار ضریب تبیین اصلاح شده و درصد جذر میانگین مربعات خطأ استفاده شد (رابطه‌های ۲ و ۳) و تمامی تجزیه و تحلیل‌های آماری در نرم‌افزار R انجام گرفت.

$$RMSE = \sqrt{\sum_{i=1}^n (\hat{y}_i - y_i)^2 / n} \quad (2)$$

$$RMSE\% = RMSE / \bar{y}_i \times 100 \quad (3)$$

به‌طوری که  $n$ : تعداد نمونه‌های ارزیابی،  $\hat{y}_i$ : مقدار تخمین زده شده و  $y_i$ : مقدار مشاهده شده است.

### نتایج و بحث

میانگین، حداقل و حداکثر مشخصه قطر برابر سینه به ترتیب (۳۹/۹، ۱۳ و ۷۲ سانتی‌متر)، ارتفاع به ترتیب (۱۴/۹، ۹ و ۸۵/۷ متر) و زی‌توده روی زمینی (۳۴۷/۲، ۴۳/۲ و ۲۱/۶ کیلوگرم در واحد درخت) است (جدول ۲).

جدول ۳ نتایج ضرایب حاصل از برآش ۲۹ مدل رگرسیونی انتخاب شده را نشان می‌دهد. عملیات برآش و مدل‌سازی با استفاده از سه متغیر مستقل قطر برابر سینه (DBH)، ارتفاع (H) و چگالی خشک ( $m$ ) با استفاده از مدل‌های مختلف به صورت جداگانه و ترکیبی صورت گرفت. نتایج مدل‌سازی با استفاده از مدل‌هایی که فقط از قطر برابر سینه به عنوان متغیر مستقل استفاده کرده‌اند نشان داد که مدل‌های شماره ۴، ۱۴ و ۱۷ با ضرایب تبیین ۰/۹۴۶، ۰/۹۴۶ و ۰/۹۴۶ و درصد جذر میانگین مربعات خطأ به ترتیب ۲۶/۳۹، ۲۶/۴۱ و ۲۶/۵۵ درصد نسبت به مدل‌های دیگر بهتر توانسته‌اند زی‌توده روی زمینی پالوپنیا را تبیین کنند. نتایج نشان داد که ضرایب تبیین این سه مدل یکسان و درصد جذر میانگین مربعات خطأ هم تفاوت زیادی با هم ندارند (حدود ۰/۲ درصد) و از بین این سه مدل، مدل توانی دارای کمترین درصد جذر میانگین مربعات خطاست که با نتایج واحدی و

### روش پژوهش

ابتدا با شناسایی اولیه منطقه، براساس طبقه قطری ۱۶ اصله درخت پالوپنیا (گونه فورتونی) انتخاب شدند سپس مشخصه‌های قطر برابر سینه و ارتفاع کل تمام درختان انتخاب شده اندازه‌گیری و ثبت شد. پس از قطع، هر درخت به قسمت‌های مختلف تن، شاخه، برگ و میوه تقسیم شد و هر قسمت به‌طور جداگانه با ترازوی دیجیتال (با دقیقه ۱۰ گرم) وزن تر آنها اندازه‌گیری شد. پس از وزن کردن قسمت‌های مختلف درخت، به‌منظور اندازه‌گیری وزن خشک، از اندام‌های مختلف درخت، نمونه‌هایی به‌طور تصادفی گرفته شد و پس از وزن کردن با ترازوی با دقیقه ۱ گرم، برای به‌دست آوردن وزن خشک به آزمایشگاه منتقل شدند. نمونه‌ها تا زمان رسیدن به وزن پایدار درون آون قرار گرفتند دیسک تن و شاخه‌های اصلی ۴۸ ساعت در دمای ۱۱۰ درجه سانتی‌گراد و سایر بخش‌ها ۷۰ درجه به مدت ۴۸ ساعت [۵]. براساس تحقیق معیری و همکاران (۲۰۱۸)، چگالی خشک درخت پالوپنیا ۰/۲۴ محاسبه شد [۲۳]. پس از تعیین وزن خشک نمونه‌ها، وزن خشک هر اندام با استفاده از رابطه ۱ محاسبه شد.

$$WD_c = \frac{WF_c \times WD_s}{WF_s} \quad (1)$$

$WD_c$ : وزن خشک هر قسمت از درخت،  $WF_c$ : وزن تر هر قسمت از درخت،  $WD_s$ : وزن خشک هر نمونه و  $WF_s$ : وزن تر هر کدام از نمونه‌های است. برای محاسبه وزن خشک (زی‌توده) کل، وزن خشک همه اندام‌های هوایی با یکدیگر جمع شدند [۴].

به‌منظور مدل‌سازی زی‌توده درختان پالوپنیا فورتونی، سه مشخصه اصلی قطر برابر سینه، ارتفاع کل و چگالی خشک به صورت جداگانه و ترکیبی برای برآش مدل‌ها به کار گرفته شدند. براساس بررسی سوابق تحقیق ۲۹ معادله آلمتریک برای برآورد زی‌توده که در تحقیقات

جدول ۱. فهرست معادلات آلمتریک استفاده شده در این تحقیق برای برآورد زی توده روی زمین

| منبع | مدل   | شماره مدل |
|------|---|-----------|
| [۲۱] | $AGB = \beta_0 + \beta_1 DBH$   | ۱         |
| [۲۱] | $AGB = \beta_1 DBH^2$   | ۲         |
| [۲۱] | $AGB = \beta_0 + \beta_1 DBH^{\beta_2}$   | ۳         |
| [۲۱] | $AGB = \beta_1 DBH^{\beta_2}$   | ۴         |
| [۲۱] | $AGB = \beta_0 + \beta_1 H^{\beta_2}$   | ۵         |
| [۲۱] | $AGB = \beta_0 + \beta_1 H + \beta_2 H^2$   | ۶         |
| [۲۱] | $AGB = \beta_1 H^{\beta_2}$   | ۷         |
| [۲۱] | $AGB = \beta_0 + \beta_1 DBH^2 \times H$  | ۸         |
| [۲۱] | $AGB = \beta_1 DBH^2 \times H$  | ۹         |
| [۲۱] | $AGB = \beta_1 DBH^{\beta_2} \times H^{\beta_3}$  | ۱۰        |
| [۴]  | $AGB = \beta_0 + (DBH^2 \times H)^{\beta_1}$  | ۱۱        |
| [۴]  | $AGB = \beta_1 DBH^{\beta_2} \times H$  | ۱۲        |
| [۴]  | $AGB = \beta_1 DBH^2 \times H^{0.5}$  | ۱۳        |
| [۶]  | $AGB = \beta_0 + \beta_1 DBH + \beta_2 DBH^2$   | ۱۴        |
| [۲۴] | $AGB = \beta_0 \times (DBH^2 \times H)^{\beta_1}$   | ۱۵        |
| [۱۶] | $AGB = \beta_0 + \beta_1 DBH + \beta_2 DBH^2 + \beta_3 (DBH \times H)$                              | ۱۶        |
| [۲۵] | $\ln AGB = \beta_0 + \beta_1 (\ln DBH)$   | ۱۷        |
| [۲۵] | $\ln AGB = \beta_0 + \beta_1 (\ln DBH) + \beta_2 (\ln DBH)^2$                                       | ۱۸        |
| [۲۵] | $\ln AGB = \beta_0 + \beta_1 (\ln DBH) + \beta_2 (\ln H)$   | ۱۹        |
| [۲۵] | $\ln AGB = \beta_0 + \beta_1 (\ln DBH) + \beta_2 (\ln DBH)^2 + \beta_3 (\ln H)$                     | ۲۰        |
| [۲۵] | $\ln AGB = \beta_0 + \beta_1 (\ln DBH) + \beta_2 (\ln DBH)^2 + \beta_3 (\ln H) + \beta_4 (\ln H)^2$ | ۲۱        |
| [۲۵] | $\ln AGB = \beta_0 + \beta_1 (DBH^2 \times H)$  | ۲۲        |
| [۲۵] | $\ln AGB = \beta_0 + \beta_1 (DBH^2 \times H) + \beta_2 (DBH^2 \times H)^2$                         | ۲۳        |
| [۲۵] | $\ln AGB = \beta_0 + \beta_1 (DBH^2 \times H \times \rho)$  | ۲۴        |
| [۲۵] | $\ln AGB = \beta_0 + \beta_1 (DBH^2 \times \rho)$   | ۲۵        |
| [۲۵] | $\ln AGB = \beta_0 + \beta_1 (\ln DBH) + (\ln \rho)$  | ۲۶        |
| [۲۵] | $\ln AGB = \beta_0 + \beta_1 (DBH^2 \times H) + (\ln \rho)$   | ۲۷        |
| [۲۵] | $\ln AGB = \beta_0 + \beta_1 (DBH^2 \times \rho) + \beta_2 (\ln H)$                                 | ۲۸        |
| [۲۵] | $\ln AGB = \beta_0 + \beta_1 (DBH)^2 + \beta_2 (DBH^2 \times H) + (\ln \rho)$                       | ۲۹        |

DBH قطر برابر سینه بر حسب سانتی متر، H ارتفاع کل درختان بر حسب متر، ρ چگالی خشک و β₀, β₁, β₂, β₃, β₄ ضرایب مدل

جدول ۲. آماره های توصیفی مشخصه های قطر برابر سینه، ارتفاع درختان و زی توده درختان پالونیا

| آماره های توصیفی | قطر برابر سینه (سانتی متر) | ارتفاع (متر) | زی توده (کیلوگرم) |
|------------------|----------------------------|--------------|-------------------|
| میانگین          | ۳۹/۹                       | ۱۴/۹         | ۳۴۷/۲             |
| مدیان            | ۲۳/۲۵                      | ۱۴/۷         | ۳۳۰/۹             |
| دامنه            | ۵۹                         | ۱۲/۳         | ۸۱۶/۵             |
| ضریب تغییرات     | ۴۵/۹                       | ۲۳/۷۶        | ۷۱/۶۶             |
| انحراف از معیار  | ۱۸/۳۳                      | ۳/۵۴         | ۲۴۸/۸             |
| تعداد            | ۱۶                         | ۱۶           | ۱۶                |

نمونه برداری شده نیز بستگی دارد [۱۶، ۱۲، ۱]. زمانی که تعداد درختان نمونه برداری شده کم (۴۵–۹۰ اصله) باشد، بهتر است ارتفاع اندازه گیری شود که سبب افزایش دقت مدل می‌شود [۱۷]. نتایج مدل سازی با سه پارامتر قطر برابر سینه، ارتفاع و چگالی خشک به عنوان متغیر مستقل نشان داد که مدل های ۲۵ و ۲۶ با ضریب تبیین یکسان ۹۴۶٪ و درصد جذر میانگین مربعات خطای یکسان ۵۵٪ درصد، نسبت به دیگر مدل هایی که از این سه پارامتر استفاده کردند بهتر توانسته اند زی توده روی زمین پالونیا را تبیین کنند (جدول ۳). نتایج نشان داد که با افزودن متغیر چگالی خشک چوب پالونیا، دو معیار ضریب تبیین و درصد جذر میانگین مربعات خطای تغییر نکرد و نتایج بهبود نیافت. نتایج مقایسه کل مدل های به کاررفته با استفاده از سه پارامتر قطر برابر سینه، ارتفاع و چگالی خشک با هم و به صورت جداگانه نشان داد که مدل های ۱۰، ۱۶ و ۲۱ با ضریب تبیین یکسان ۹۴۷٪ و درصد جذر میانگین مربعات خطای به ترتیب ۱۷/۲۶، ۱۶/۲۶ و ۰/۷۲ درصد نسبت به سایر مدل ها بهتر توانستند زی توده روی زمین پالونیا را برآورد کنند و ازین این سه، مدل ۲۱ دارای کمترین درصد جذر میانگین مربعات خطایست (جدول ۳). نتایج این تحقیق نشان داد که براساس یافته های واحدی و همکاران (۲۰۱۳)، ایران منش و همکاران (۲۰۱۴)، دریایی و سه هایی (۲۰۱۵)، Navar (۲۰۰۹)، Djomo و همکاران (۲۰۱۰)، Aguilar و همکاران (۲۰۱۲) و Kenzo و همکاران (۲۰۰۹)، از میان متغیرهای قطر برابر سینه، ارتفاع و چگالی خشک، متغیر قطر برابر سینه نسبت به دیگر متغیرها، به تنهایی بیشترین برآذش را با زی توده پالونیا داشت [۳، ۴، ۵، ۶، ۷، ۱۱، ۱۴].

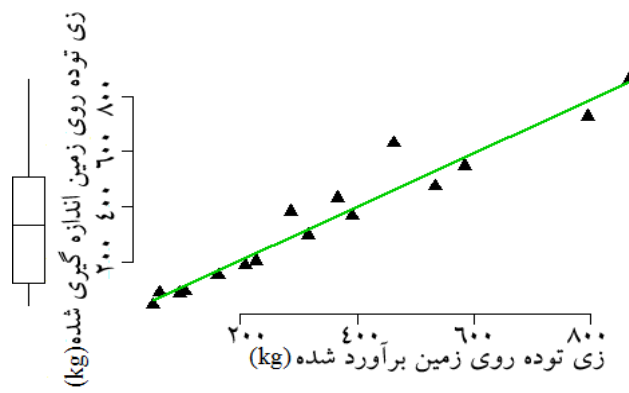
شكل ۲ مقادیر مشاهده شده زی توده در برابر مقادیر برآورده شده با استفاده از مدل ۲۱ را نشان می دهد.

شكل ۳ ابر نقاط زی توده روی زمین را در برابر پارامترهای قطر برابر سینه و ارتفاع درختان و همچنین مدل های برآذش یافته ۴ و ۷ را نشان می دهد (شکل ۳).

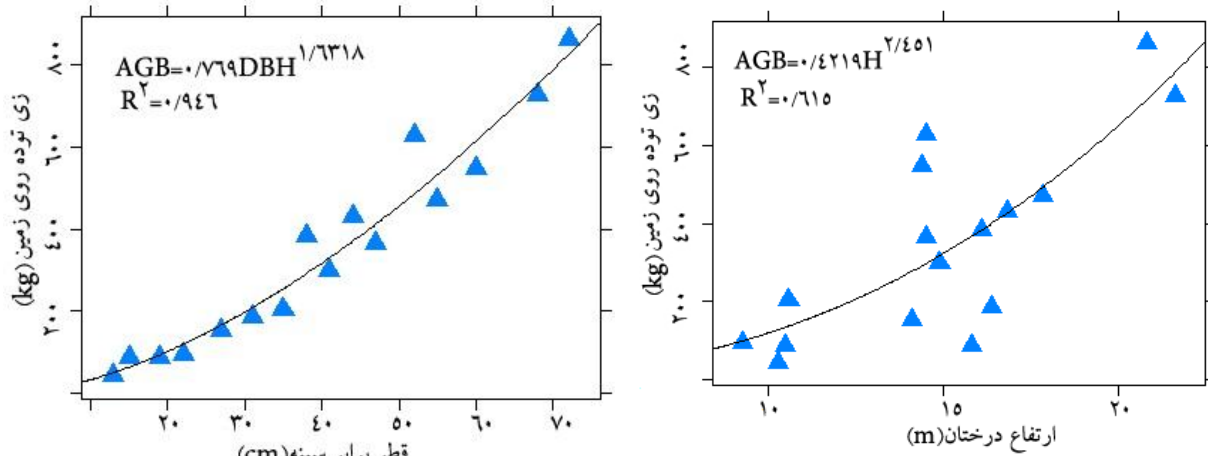
همکاران (۲۰۱۳)، García-Morote و همکاران (۲۰۱۴)، Kuyah و همکاران (۲۰۱۲) و Navar (۲۰۰۹) مطابقت دارد [۵، ۴، ۲] (جدول ۳). نتایج مدل سازی با استفاده از مدل هایی که فقط از پارامتر ارتفاع به عنوان متغیر مستقل استفاده کردند، نشان داد که مدل های ۵ و ۷ نسبت به سایر مدل هایی که فقط از متغیر ارتفاع استفاده کردند دارای ضریب تبیین بیشتر (۰/۶۱۴ و ۰/۶۱۵ به ترتیب) و درصد جذر میانگین مربعات خطای کمتر (۵۵٪، ۴۲٪ و ۳۲٪) درصد به ترتیب (جدول ۳). می توان نتیجه گرفت که متغیر ارتفاع به تنهایی نمی تواند زی توده روی زمینی درختان پالونیا را با دقت زیاد تبیین کند و درصد جذر میانگین مربعات خطای ۷۰ درصد مؤید این مطلب است. همچنین نتایج مدل سازی با استفاده از دو پارامتر قطر برابر سینه و ارتفاع درختان به عنوان متغیرهای مستقل نشان داد که مدل های ۱۰، ۱۶ و ۲۱ با ضریب تبیین یکسان ۹۴۷٪ و درصد جذر میانگین مربعات خطای به ترتیب ۱۶/۲۶، ۱۶/۲۶ و ۰/۷۲ درصد نسبت به سایر مدل ها با دو پارامتر قطر برابر سینه و ارتفاع بهتر توانستند زی توده روی زمینی پالونیا را تبیین کنند (جدول ۳). ازین این سه، مدل ۲۱ دارای کمترین درصد جذر میانگین مربعات خطایست. با اضافه کردن متغیر ارتفاع به قطر برابر سینه و مدل سازی با استفاده از این دو متغیر به صورت همزمان، میزان ضریب تبیین از ۹۴۶٪ به ۹۴۷٪ افزایش و درصد جذر میانگین مربعات خطای نیز از ۳۹٪ به ۴۷٪ کاهش یافت؛ این بهبود نتایج بسیار ناچیز بود و با یافته های Djomo و همکاران Boone (۲۰۰۹) و Zewdie (۲۰۱۰) و همکاران Kauffman (۲۰۰۸) همخوانی داشت [۶، ۱۵، ۲۱]؛ براساس یافته های Lopi و همکاران (۲۰۱۷)، Fayolle و همکاران (۲۰۱۳) و Mugasha و همکاران (۲۰۱۵)، با اضافه کردن متغیر ارتفاع به مدل، شاید افزایش چشمگیری در دقت مدل حاصل نشود، ولی انعطاف پذیری و دقت مدل افزایش می یابد؛ در مناطقی که ترکیب و تراکم توده تغییر کند، اثر گذاری متغیر ارتفاع بیشتر می شود که همچنین به ابعاد و نوع گونه درختی

جدول ۳. ضرایب مدل‌های رگرسیونی استفاده شده در این تحقیق

| شماره مدل | ضرایب مدل | ضرایب تبیین |           |            |           |           | درصد مجنوز میانگین مربوط خطای |
|-----------|-----------|-------------|-----------|------------|-----------|-----------|-------------------------------|
|           |           | $\beta_4$   | $\beta_3$ | $\beta_2$  | $\beta_1$ | $\beta_0$ |                               |
| ۱         | -۱۷۵/۹    | -           | -         | -          | ۱۳/۱      | -         | ۲۹/۷۴                         |
| ۲         | -         | -           | -         | -          | .۱۷۷۶     | -         | ۳۱/۵۹                         |
| ۳         | ۵۰/۸۸۵۳   | -           | -         | -          | .۱۵۵۱     | -         | ۲۷/۹                          |
| ۴         | -         | -           | ۱/۶۳۱۸    | -          | .۰/۷۶۹    | -         | ۲۶/۳۹                         |
| ۵         | -۷۲/۴۷۱   | -           | -         | -          | .۱/۷۹۴    | -         | ۷۰/۵۵                         |
| ۶         | ۷۹/۹۹     | -           | -         | ۲/۴۵۷      | -۲۰/۵     | -         | ۷۰/۴۲                         |
| ۷         | -         | -           | ۲/۴۵۱     | -          | .۰/۴۲۱۹   | -         | ۷۰/۳۳                         |
| ۸         | ۱۱۲/۹     | -           | -         | -          | .۰/۰۰۷۲۳۳ | -         | ۳۸/۵                          |
| ۹         | -         | -           | -         | -          | .۰/۰۰۹۰۲۳ | -         | ۵۳/۳۴                         |
| ۱۰        | -         | -           | ۱/۵۵۸۵    | -          | .۰/۷۰۸۱   | -         | ۲۶/۱۷                         |
| ۱۱        | ۴۶/۰۱۵    | -           | -         | -          | .۰/۵۸۴    | -         | ۲۸/۴۹                         |
| ۱۲        | -         | -           | ۱/۱۲۳۵    | -          | .۰/۳۳۴۵   | -         | ۳۳/۹۲                         |
| ۱۳        | -         | -           | -         | -          | .۰/۰۳۹۷۷  | -         | ۴۰/۹۵                         |
| ۱۴        | -۴۳/۴۱۶   | -           | -         | .۰/۰۹۴۳    | ۵/۲۷۱۶    | -         | ۲۶/۴۱                         |
| ۱۵        | .۰/۵۶۵۹   | -           | -         | -          | .۰/۶۲۹۶   | -         | ۲۹/۱۲                         |
| ۱۶        | -۵۲/۶۵    | -           | ۰/۰۸۵۲۶   | -۰/۰۷۴۲۸   | ۵/۰۹۰۴۸   | -         | ۲۶/۱۶                         |
| ۱۷        | -۰/۱۶۵۹   | -           | -         | -          | .۱/۶۵۴    | -         | ۲۶/۵۵                         |
| ۱۸        | .۰/۶۵۲۸۲  | -           | -         | .۰/۰۸۲۲۲   | ۱/۰۴۷۳۲   | -         | ۲۶/۹۹                         |
| ۱۹        | .۰/۷۴۶۹   | -           | -         | .۰/۲۶۲۴    | ۱/۰۵۶۴۲   | -         | ۲۶/۶۸                         |
| ۲۰        | .۰/۰۳۰۷۷  | -           | .۰/۲۴۶۱۴  | .۰/۰۵۹۹۸   | ۱/۱۰۵۷۳۲  | -         | ۲۷/۳۲                         |
| ۲۱        | -۴/۲۳۷    | -۰/۰۸۰۷۹    | ۴/۴۶۹۵    | .۰/۱۷۴۳    | .۰/۳۸۵    | -         | ۲۶/۰۷                         |
| ۲۲        | -۱/۳۱۲۶   | -           | -         | -          | .۰/۶۹۸۲   | -         | ۳۰/۶۸                         |
| ۲۳        | -۱/۷۶۶    | -           | -         | .۰/۰۰۰۰۰۸۴ | .۰/۷۵۲۶   | -         | ۲۷/۱                          |
| ۲۴        | -۰/۳۱۶۲   | -           | -         | -          | .۰/۶۹۸    | -         | ۳۰/۶۸                         |
| ۲۵        | .۰/۸۱۴۴   | -           | -         | -          | .۰/۸۲۷    | -         | ۲۶/۵۵                         |
| ۲۶        | ۱/۰۶۱     | -           | -         | -          | .۱/۶۵۴    | -         | ۲۶/۵۵                         |
| ۲۷        | .۰/۱۱۴۵   | -           | -         | -          | .۰/۶۹۸    | -         | ۳۰/۶۸                         |
| ۲۸        | .۰/۳۶۹۲   | -           | -         | .۰/۲۶۲۴    | .۰/۷۸۲۱   | -         | ۲۶/۶۵                         |
| ۲۹        | ۲/۲۶۵     | -           | -         | .۰/۲۹۳۲    | .۰/۱۴۰۲   | -         | ۲۹/۲۲                         |



شکل ۲. مقادیر زی توده اندازه گیری شده در برابر مقادیر زی توده برآورده شده با استفاده از مدل ۲۱



شکل ۳. ابر نقاط زی توده روی زمین در برابر قطر برابرسینه و ارتفاع درختان و منحنی برآشنا یافته مدل‌های ۴ و ۷

معادلات آلمتریک و همچنین توسعه این مدل‌ها برای گونه‌های دیگر و در رویشگاه‌های مختلف انجام گیرد.

#### References

- [1]. Mugasha, W.A., Eid, T., Bollandsås, O.M., Malimbwi, R.E., Chamshama, S.A.O., Zahabu, E., and Katani, J.Z. (2013). Allometric models for prediction of above-and belowground biomass of trees in the miombo woodlands of Tanzania. *Forest Ecology and Management*, 310: 87-101.
- [2]. Kuyah, S., Dietz, J., Muthuri, C., Jamnadss, R., Mwangi, P., Coe, R., and Neufeldt, H. (2012). Allometric equations for estimating biomass in agricultural landscapes: II. Belowground biomass. *Agriculture, Ecosystems and Environment*, 158: 225-234.
- [3]. Iranmanesh, Y., Sagheb Talebi, Kh., Sohrabi, H., Jalali, S.G., and Hosseini S.M. (2014). Biomass and carbon Stocks of Brant's oak (*Quercus brantii* Lindl.) in two vegetation forms in Lordegan, Chaharmahal & Bakhtiari Forests. *Iranian Journal of Forest and Poplar Research*, 22(4): 749-762.
- [4]. Navar, J. (2009). Allometric equations for tree species and carbon stocks for forests of northwestern Mexico. *Forest Ecology and Management*, 257(2): 427-434.
- [5]. Vahedi, A., Mataji, A., Babayi-Kafaki, S., Eshaghi-Rad, J., and Hodjati, S.M. (2013). Modeling the bole mass of beech (*Fagus Orientalis Lipsky*) through allometric equations within Hyrcanian forests. *Iranian Journal of Forest*, 5(3): 309-322.

#### نتیجه‌گیری

به‌طور کلی نتایج این تحقیق نشان داد که مدل ۲۱ دارای بیشترین ضریب تبیین و کمترین درصد جذر میانگین مربعات خطایست. البته مقدار ضریب تبیین و درصد جذر میانگین مربعات خطای حاصل از این مدل با مدل‌های ۱۴، ۴، ۱۶، ۱۰ و ۱۷ تفاوت زیادی ندارد. متغیر قطر برابرسینه به عنوان یک متغیر از درختان سرپا، متغیر مناسبی برای برآورد آسان، غیرمخرب، کم‌هزینه و سریع زی توده روی زمینی پالوئنیا است و زمانی که فقط متغیر قطر برابرسینه برای برآورد زی توده به کار رود، از مدل‌های ۱۴، ۴ و ۱۷ می‌توان استفاده کرد. متغیر ارتفاع درختان نیز سبب افزایش دقت معادلات می‌شود و برای برآشنا بهتر و استفاده مدل برای این گونه در سایر مناطق از مدل‌های ۲۱، ۱۰ و ۱۶ که هم از قطر برابرسینه و هم از ارتفاع استفاده می‌کنند، می‌توان بهره گرفت؛ اما با افزودن متغیر چگالی خشک چوب پالوئنیا، دو معیار ضریب تبیین و درصد میانگین مجدول مربعات خطای تغییر نکرد و نتایج بهبود نیافت. امید می‌رود تحقیقات تکمیلی درباره استفاده از دیگر متغیرهای کمی درختان مانند مشخصه‌های تاجی درختان در معادلات آلمتریک، توسعه معادلات آلمتریک با استفاده از مدل‌های تعمیم‌یافته و الگوریتم‌های داده‌کاوی، افزودن مشخصه‌های اولیه و ثانویه توپوگرافی در

- [6]. Djomo, A.N., Ibrahim, A., Saborowski, J., and Gravenhorst, G. (2010). Allometric equations for biomass estimations in Cameroon and pan moist tropical equations including biomass data from Africa. *Forest Ecology and Management*, 260(10): 1873-1885.
- [7]. Jiménez, L., Rodríguez, A., Ferrer, J.L., Pérez, A., and Angulo, V. (2005). La Paulownia: una planta de rápido crecimiento como materia prima para la fabricación de papel. *Afinidad*, 62(516):100-105.
- [8]. Daryaei, A., and Sohrabi, H. (2015). Aboveground biomass estimation of small diameter trees of *Carpinus betulus*, *Fagus orientalis* and *Parrotia persica* by using power regression model. *Journal of Wood & Forest Science and Technology*, 22(2): 137-150.
- [9]. Eslamdoust, J., Sohrabi, H., Hosseini, S.M., and Naseri, B. (2014). Estimation of biomass factor and biomass expansion factor for *Populus deltoides*, *Alnus subcordata* and *Taxodium distichum* in koludeh plantation, Amol. *Iranian Journal of Forest and Poplar Research*, 22(3): 540-549.
- [10]. Sohrabi, H., and Shirvani, A. (2012). Allometric equations for estimating standing biomass of Atlantic Pistache (*Pistacia atlantica* var. *mutica*) in Khojir National Park. *Iranian Journal of Forest*, 4(1): 55-64.
- [11]. Aguilar, R., Ghilardi, A., Vega, E., Skutsch, M., and Oyama, K. (2012). Sprouting productivity and allometric relationships of two oak species managed for traditional charcoal making in central Mexico. *Biomass and Bioenergy*, 36: 192-207.
- [12]. Fayolle, A., Doucet, J.L., Gillet, J.F., Bourland, N., and Lejeune, P. (2013). Tree allometry in Central Africa: testing the validity of pantropical multi-species allometric equations for estimating biomass and carbon stocks. *Forest Ecology and Management*, 305: 29-37.
- [13]. García-Morote, F.A., López-Serrano, F., Martínez-García, E., Andrés-Abellán, M., Dadi, T., Candel, D., Rubio, E., and Lucas-Borja, M. (2014). Stem biomass production of *Paulownia elongata* × *P. fortunei* under low irrigation in a semi-arid environment. *Forests*, 5(10): 2505-2520.
- [14]. Kenzo, T., Furutani, R., Hattori, D., Kendawang, J.J., Tanaka, S., Sakurai, K., and Ninomiya, I. (2009). Allometric equations for accurate estimation of above-ground biomass in logged-over tropical rainforests in Sarawak, Malaysia. *Journal of Forest Research*, 14(6): 365-372.
- [15]. Litton, C.M., and Boone Kauffman, J. (2008). Allometric models for predicting aboveground biomass in two widespread woody plants in Hawaii. *Biotropica*, 40(3): 313-320.
- [16]. Lupi, C., Larocque, G.R., DesRochers, A., Labrecque, M., Mosseler, A., Major, J., Beaulieu, J., Tremblay, F., Gordon, A.M., Thomas, B.R., and Vézina, A. (2017). Biomass from young hardwood stands on marginal lands: Allometric equations and sampling methods. *Biomass and Bioenergy*, 98: 172-181.
- [17]. Rutishauser, E., Noor'an, F., Laumonier, Y., Halperin, J., Hergoualc'h, K., and Verchot, L. (2013). Generic allometric models including height best estimate forest biomass and carbon stocks in Indonesia. *Forest Ecology and Management*, 307:219-225.
- [18]. Stas, S.M., Rutishauser, E., Chave, J., Anten, N.P., and Laumonier, Y. (2017). Estimating the aboveground biomass in an old secondary forest on limestone in the Moluccas, Indonesia: Comparing locally developed versus existing allometric models. *Forest Ecology and Management*, 389: 27-34.
- [19]. Stankova, T., Gyuleva, V., Dimitrov, D., Hristova, H., and Andonova, E. (2017). Aboveground dendromass estimation of juvenile *Palownia* Sp. *Glasnik Šumarskog fakulteta Univerziteta u Banjoj Luci*, 24: 5-18.
- [20]. Vahedi, A.A. (2016). Artificial neural network application in comparison with modeling allometric equations for predicting above-ground biomass in the Hyrcanian mixed-beech forests of Iran. *Biomass and Bioenergy*, 88: 66-76.
- [21]. Zewdie, M., Olsson, M., and Verwijst, T. (2009). Above-ground biomass production and allometric relations of *Eucalyptus globulus* Labill. Coppice plantations along a chronosequence in the central highlands of Ethiopia. *Biomass and Bioenergy*, 33(3): 421-428.
- [22]. Zuazo, V.H.D., Bocanegra, J.A.J., Torres, F.P., Pleguezuelo, C.R.R., and Martínez, J.R.F. (2013). Biomass yield potential of paulownia trees in a semi-arid Mediterranean environment (S Spain). *International Journal of Renewable Energy Research (IJRER)*, 3(4):789-793.

- [23]. Moayeri, M.H., Hatami, N., and Tabarsa, T. (2018). Evaluation of quantitative and qualitative characteristics of *Paulownia fortunei* cultivation on steep lands (Case study: Tooskestan region–Gorgan). *Journal of Forest Research and Development*, 4(1): 97-112.
- [24]. Lima, A.J.N., Suwa, R., de Mello Ribeiro, G.H.P., Kajimoto, T., dos Santos, J., da Silva, R.P., de Souza, C.A.S., de Barros, P.C., Noguchi, H., Ishizuka, M., and Higuchi, N. (2012). Allometric models for estimating above-and below-ground biomass in amazonian forests at São Gabriel da Cachoeira in the upper Rio Negro, Brazil. *Forest Ecology and Management*, 277: 163-172.
- [25]. Moore, J.R. (2010). Allometric equations to predict the total above-ground biomass of radiata pine trees. *Annals of Forest Science*, 67(8): 806.

## Allometric equations for estimating aboveground biomass for Paulonia trees (*Paulownia fortunei*) in the Dr. Bahramnia Forests Plan of Gorgan

**J. Mohammadi\***; Assist. Prof., Department of Forestry, Faculty of Natural Resources, Gorgan University of Agricultural Sciences and Natural Resources, Gorgan, I.R. Iran

**A.A. Mohammad Ali Pormalekshah**; PhD Student of Forestry, Department of Forestry, Faculty of Forest Science, Gorgan University of Agricultural Sciences and Natural Resources, Gorgan, I.R. Iran

**N. Hatami**; PhD Student of Forestry, Department of Forestry, Faculty of Forest Science, Gorgan University of Agricultural Sciences and Natural Resources, Gorgan, I.R. Iran

(Received: 21 July 2018, Accepted: 02 November 2018)

### ABSTRACT

The aim of this research was to pick out the most relevant allometric equations to estimating aboveground biomass of *Paulownia Fortunei* species in Dr. Bahramnia Forestry Plan. Totally, 16 *Paulownia Fortunei* trees were cut, and then they were transformed and weighted. After that, to determine the coefficient of dryness this species, some samples were taken from the different parts of trunk, branches, leaves and fruits. The samples were dried in Oven at 110 °C for 48 hours (for trunk and main branches) and 70 °C for 48 hours (for other sections). Using 29 allometric equations, the relationship between aboveground biomass as dependent variable and D.B.H, height and dry wood density as independent variables were analyzed. The results indicated that among the various models, Model No. 21 was used using combination of two variables of diameter at breast height and height as independent variables with an explanation coefficient of 0.947 and the mean square error of 26.77% of the best fit. The results showed that the model number 21 that used combination of diameter at breast height and tree height as independent variables were the best prediction for aboveground biomass of *Paulownia Fortunei* species, with  $R^2$  0.947 and RMSE% -26.07%. The result was not improved by adding dry density as other independent variable along with diameter at the breasts and height trees. In sum, among the all investigated independent variables, the variable of diameter of the breasts height showed the most fit on total biomass of *Paulownia Fortunei* species.

**Keywords:** Allometric equations, Aboveground biomass, Paulonia, Dr. Bahramnia forests.

\* Corresponding Author, Email: mohamadi.jahangir@gmail.com, Tel: +989365051629